

**Hes·SO**

Haute Ecole Spécialisée  
de Suisse occidentale

Fachhochschule Westschweiz

University of Applied Sciences and Arts  
Western Switzerland



# Les principes de dispersion en kinésithérapie respiratoire (distance de dispersion des particules)

**Jean-Bernard Michotte**

**Haute Ecole de Santé Vaud, 1011 Lausanne – Suisse**

**[jean-bernard.michotte@hesav.ch](mailto:jean-bernard.michotte@hesav.ch)**



**22<sup>e</sup> CONGRÈS DE PNEUMOLOGIE DE LANGUE FRANÇAISE**  
**ONCOLOGIE THORACIQUE - LE POUMON ET SON ENVIRONNEMENT**

**LYON**  
CENTRE  
DES CONGRÈS  
26 | 27 | 28  
Janvier 2018

Déclaration de liens d'intérêts

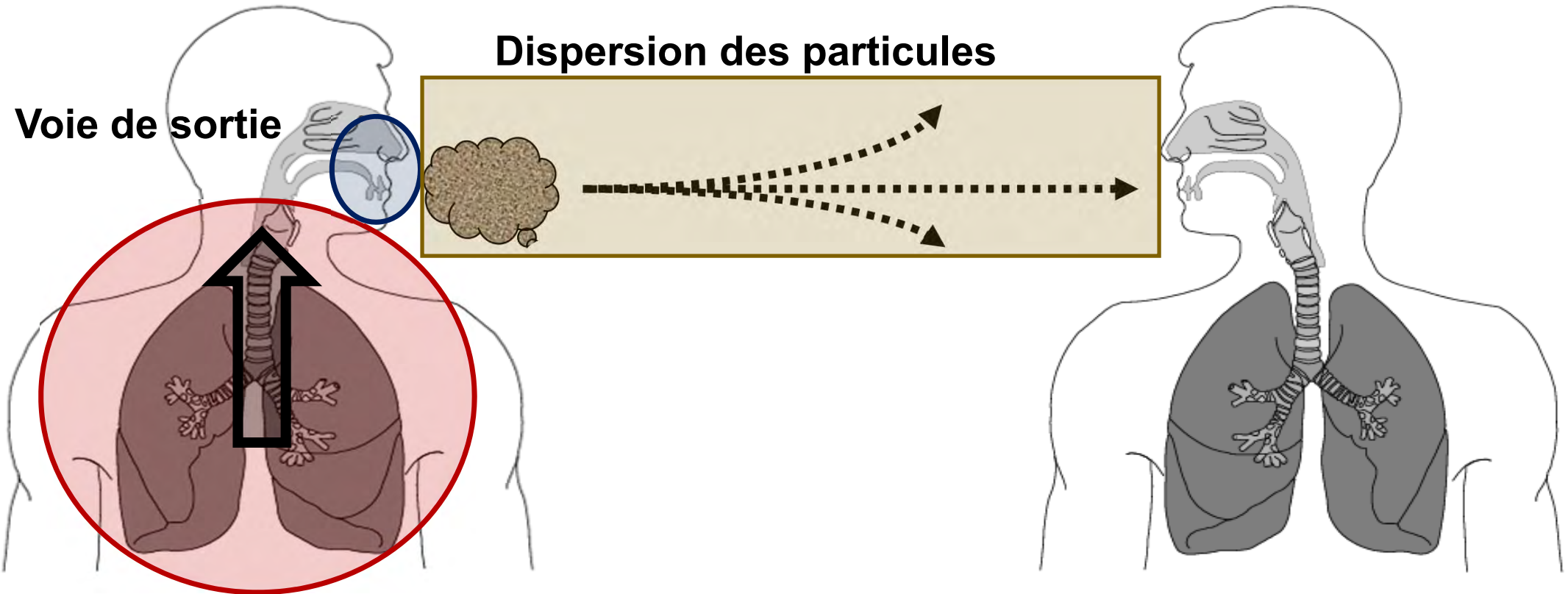
- Liens d'intérêt :

Aerogen

- Liens d'intérêt en relation avec la présentation :

Absence de liens d'intérêts

# Introduction : Dynamique de la dispersion des particules



Voie de sortie

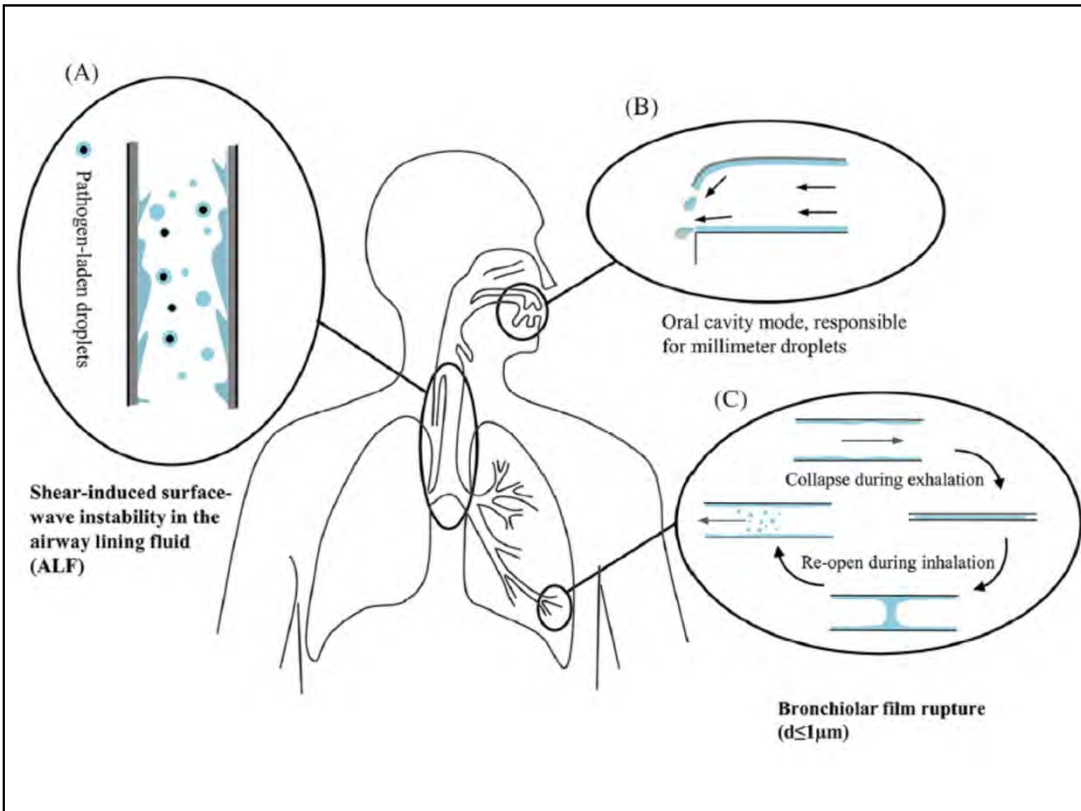
Dispersion des particules

Réservoir

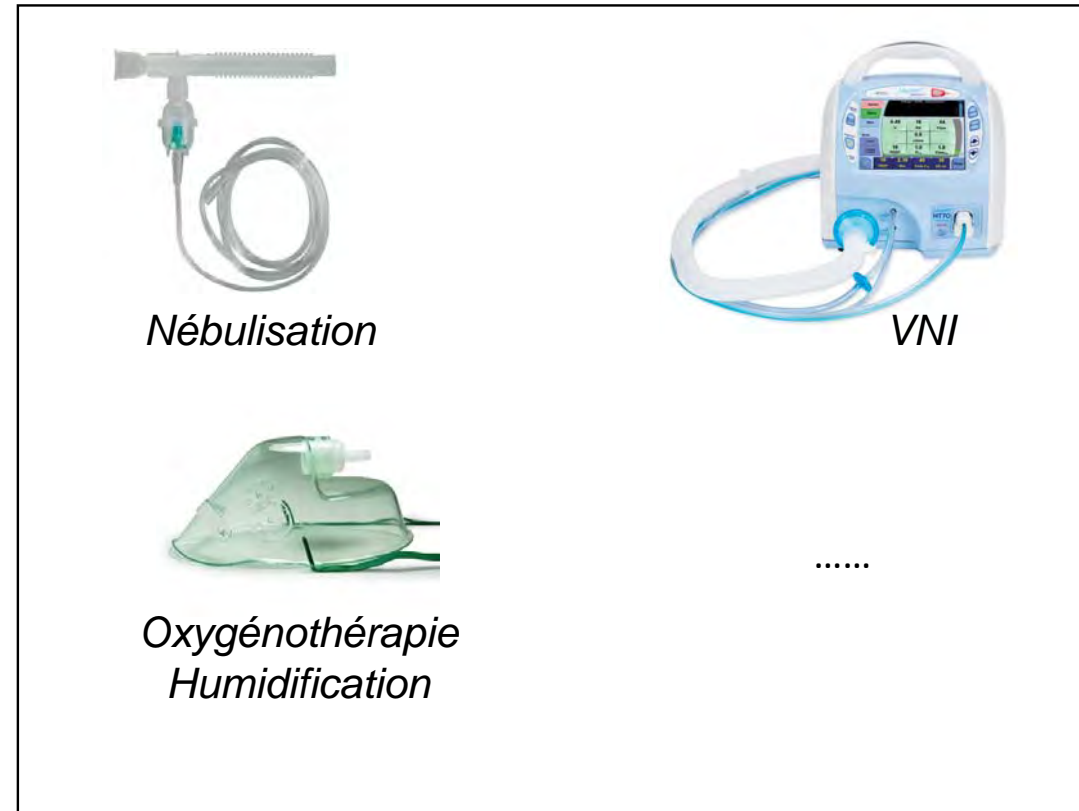
«Hôte»

+ aérosolisation (processus actif) = particules

# Introduction : Principaux réservoirs en kinésithérapie



***Le patient – Le kinésithérapeute***



***Le matériel***

# **Caractéristiques de la dispersion**



# Caractéristiques de la dispersion : angle de dispersion



# Caractéristiques de la dispersion : taille des particules





# Caractéristiques de la dispersion : distance de dispersion



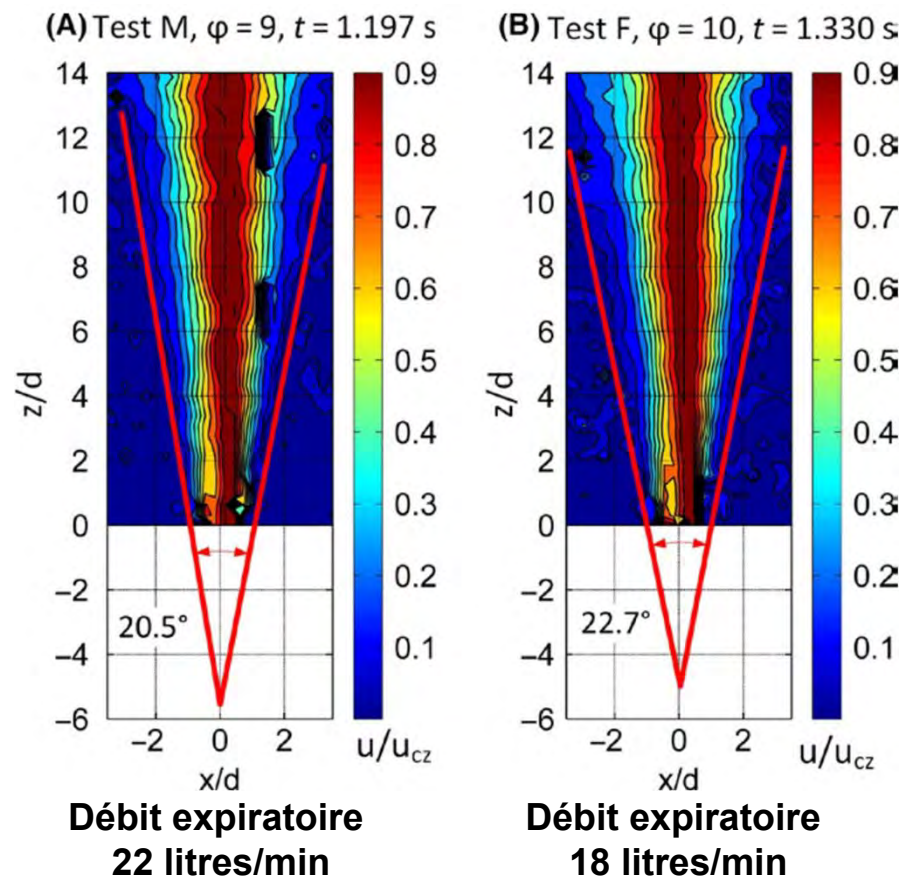


**Angle de dispersion**

# Experimental analysis of the air velocity and contaminant dispersion of human exhalation flows

F. A. Berlanga | I. Olmedo | M. Ruiz de Adana

*Etude in vitro*  
*Mesure par camera thermique et CO<sub>2</sub>*



**Angle de dispersion horizontale = effet de la vitesse**

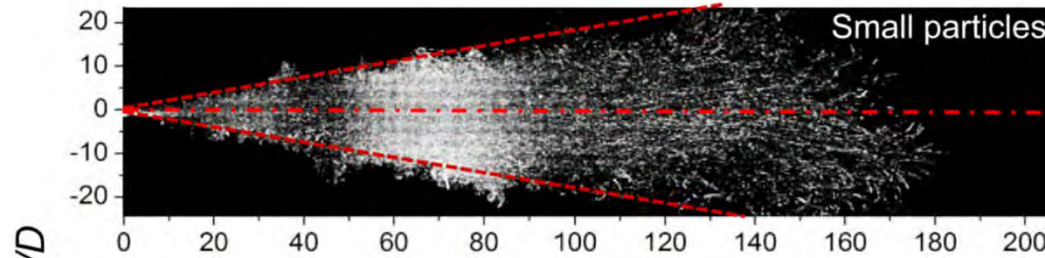
# Human Cough as a Two-Stage Jet and Its Role in Particle Transport

PLoS One. 2017;3 (0169235)

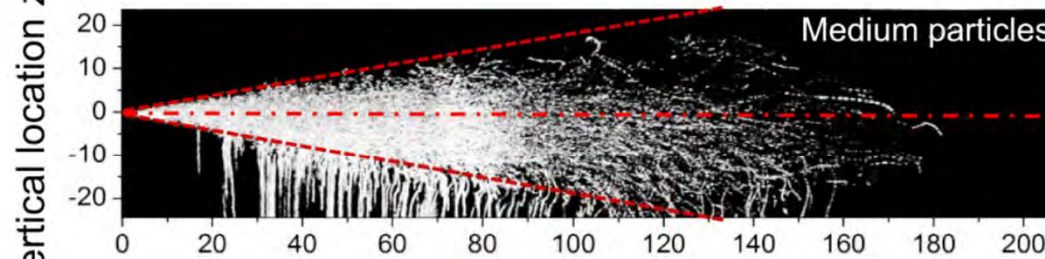
Jianjian Wei<sup>1,2\*</sup>, Yuguo Li<sup>1,2</sup>

*Etude in vitro*  
*Simulation toux (10 m/s)*  
*Vidéo haute définition*

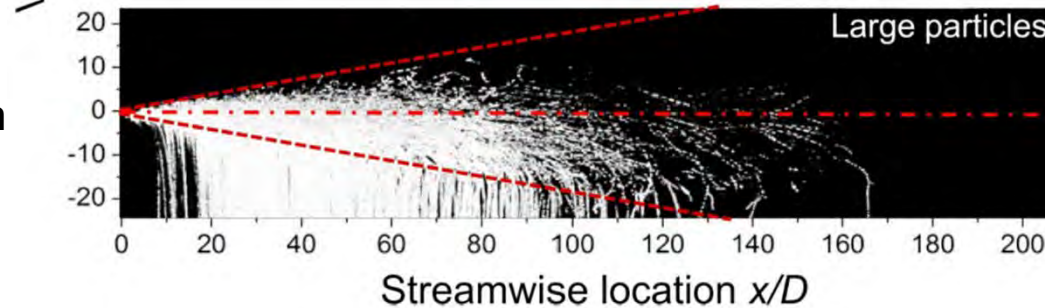
**Particules 8 – 14  $\mu\text{m}$**



**Particules 57 – 68  $\mu\text{m}$**



**Particules 96 – 114  $\mu\text{m}$**



**Angle de dispersion verticale = effet de la taille des particules**



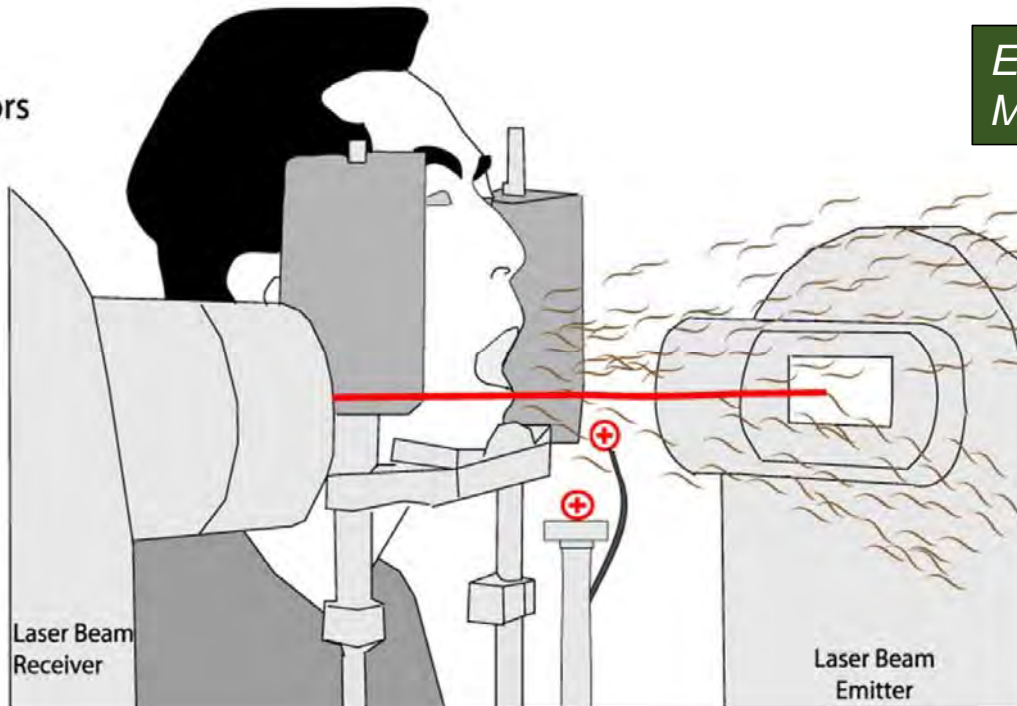
**Taille des particules**

# Cough aerosol in healthy participants: fundamental knowledge to optimize droplet-spread infectious respiratory disease management

*BMC Pulm Med. 2012, 12:11*

Gustavo Zayas<sup>1\*</sup>, Ming C Chiang<sup>1</sup>, Eric Wong<sup>2</sup>, Fred MacDonald<sup>3</sup>, Carlos F Lange<sup>4</sup>, Ambikaipakan Senthilselvan<sup>5</sup>  
and Malcolm King<sup>1</sup>

⊕ = Sensors



*Etude in vivo (volontaires sains non fumeurs, n= 45)  
Mesure par diffraction laser à 17 cm (3 toux forcées)*

# Cough aerosol in healthy participants: fundamental knowledge to optimize droplet-spread infectious respiratory disease management

*BMC Pulm Med. 2012, 12:11*

Gustavo Zayas<sup>1\*</sup>, Ming C Chiang<sup>1</sup>, Eric Wong<sup>2</sup>, Fred MacDonald<sup>3</sup>, Carlos F Lange<sup>4</sup>, Ambikaipakan Senthilselvan<sup>5</sup>  
and Malcolm King<sup>1</sup>

- Dose des particules : 2.2 mg par toux
- Tailles des particules :
  - 97% des particules < 1  $\mu\text{m}$
  - 2.7% des particules entre 1 et 10  $\mu\text{m}$

**=> 99% de particules respirables**
- Pas d'influence de l'âge, sexe, poids, taille et BMI



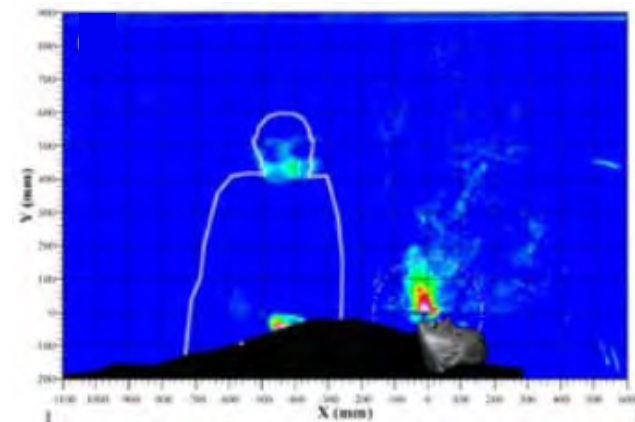
**Distance de dispersion**

# Exhaled air dispersion during bag-mask ventilation and sputum suctioning - Implications for infection control

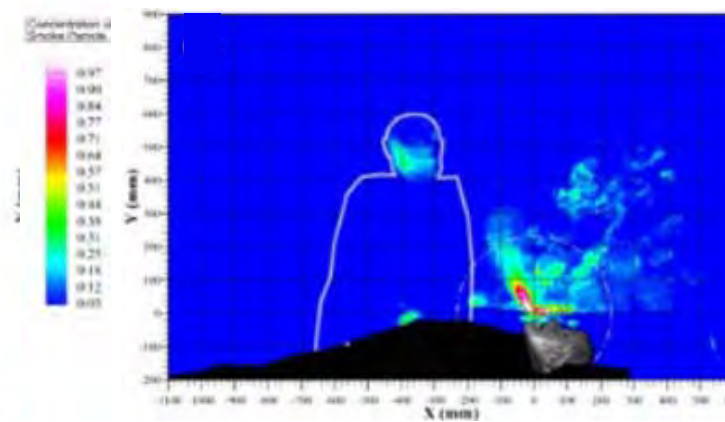
Matthew T. V. Chan<sup>1,4</sup>, Benny K. Chow<sup>2</sup>, Thomas Lo<sup>3</sup>, Fanny W. Ko<sup>3</sup>, Susanna S. Ng<sup>3</sup>, Tony Gin<sup>1</sup> & David S. Hui<sup>2,3</sup>

Scientific Reports (2018) 8:198

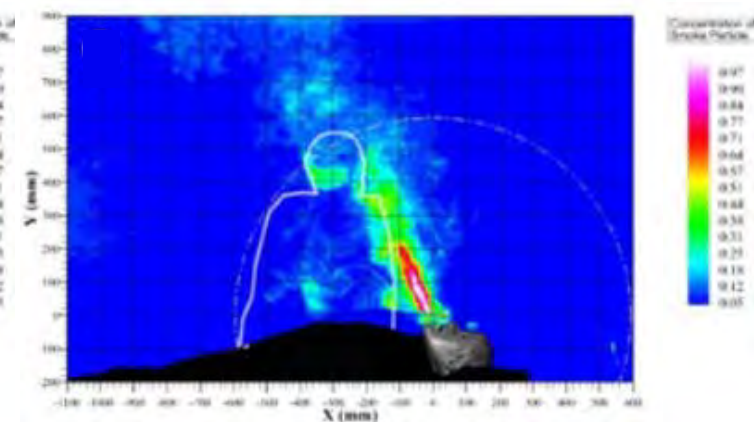
*Etude in vitro (mannequin)  
Analyse de la toux (fumée)  
Vidéo (balayage laser)*



Toux faible (220 litres/min)



Toux moyenne (320 litres/min)



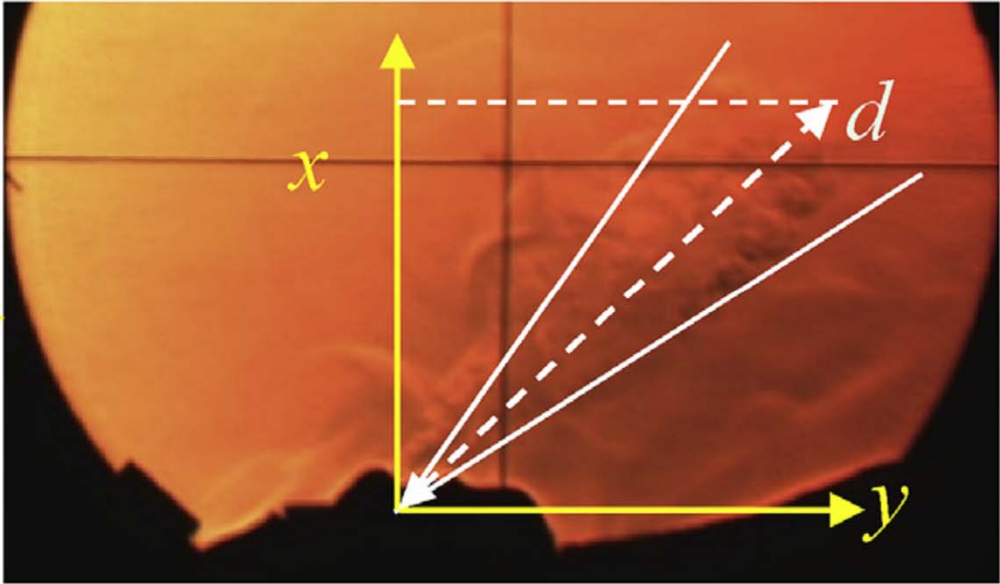
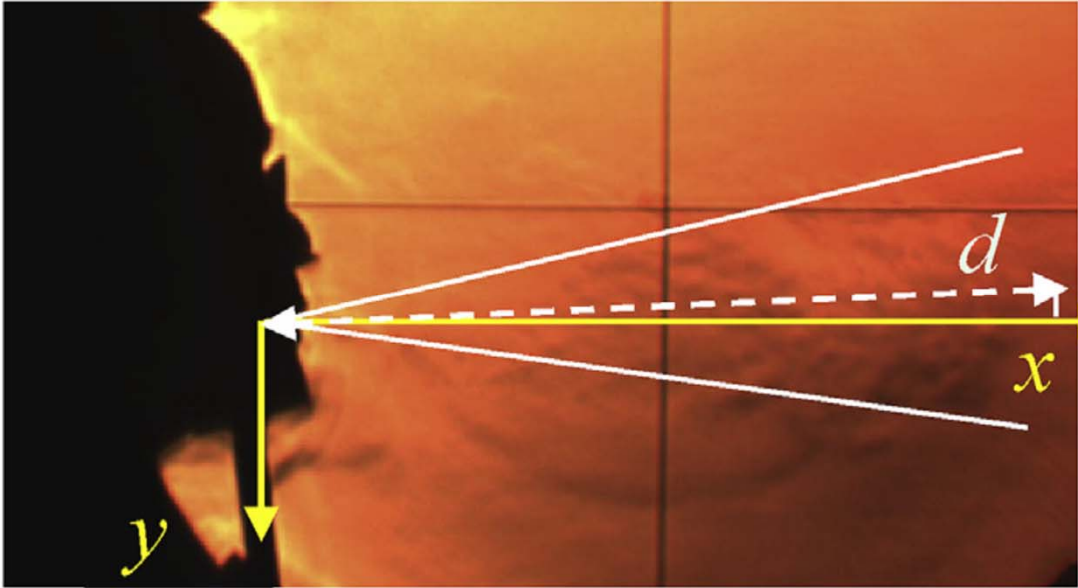
Toux forte (650 litres/min)

**Effet de la vitesse des particules**

Human exhalation characterization with the aid of schlieren imaging technique

Chunwen Xu <sup>a,b,\*</sup>, Peter V. Nielsen <sup>b</sup>, Li Liu <sup>b</sup>, Rasmus L. Jensen <sup>b</sup>, Guangcai Gong <sup>c</sup>

*Etude in vivo*  
*Analyse expiration calme*  
*Image par système optique Schlieren*



**Effet de la position**



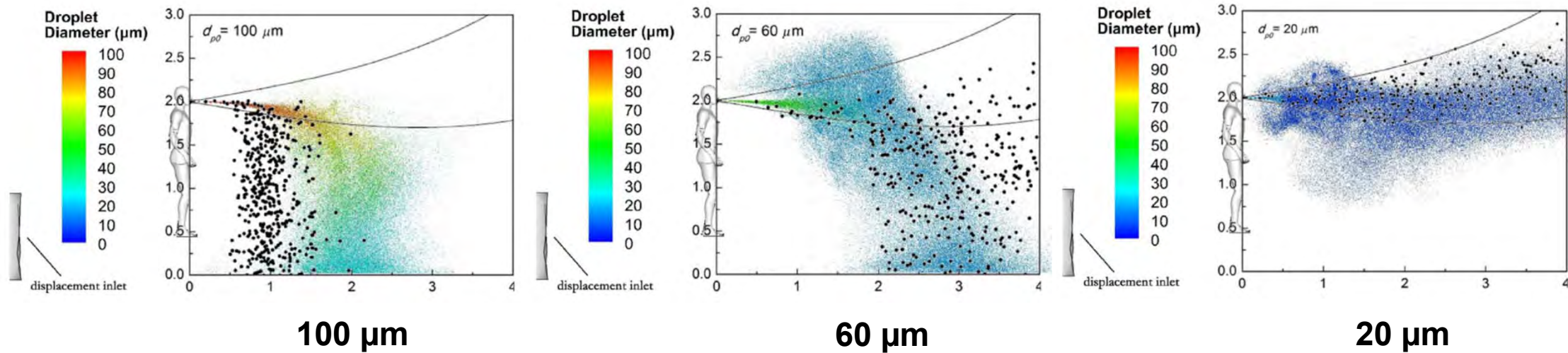
# The impact of ambient humidity on the evaporation and dispersion of exhaled breathing droplets: A numerical investigation

Yichen Ji, Hua Qian\*, Jin Ye, Xiaohong Zheng

School of Energy and Environment, Southeast University, Nanjing 210096, China

*J Aeros Sci 2018, 115; 164-172*

*Etude in vitro, simulation expiration calme.  
Mesure par simulation / modèles mathématiques.*

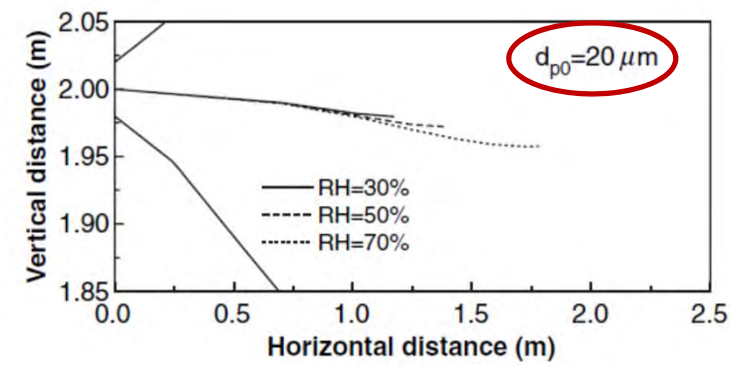
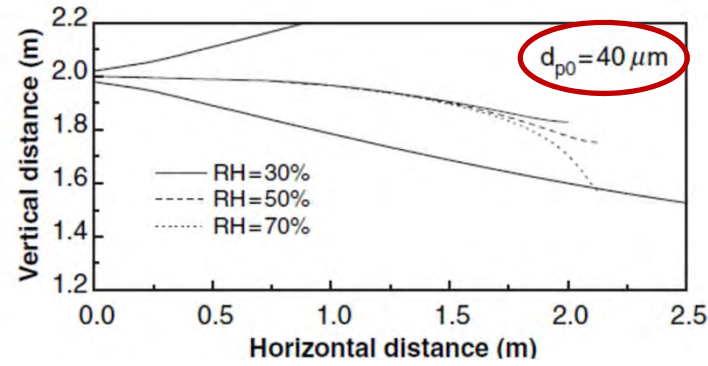
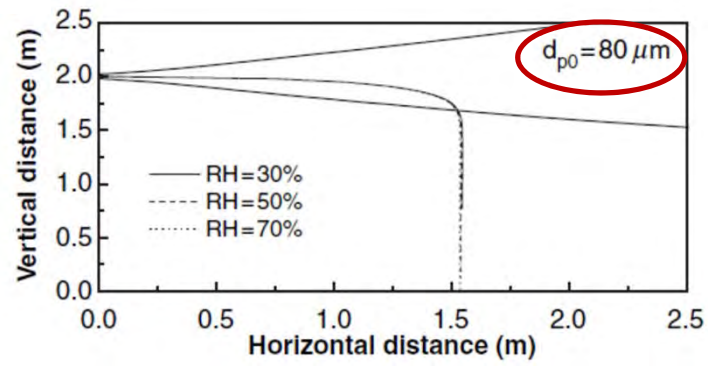


**Effet de la taille des particules**

# How far droplets can move in indoor environments – revisiting the Wells evaporation–falling curve

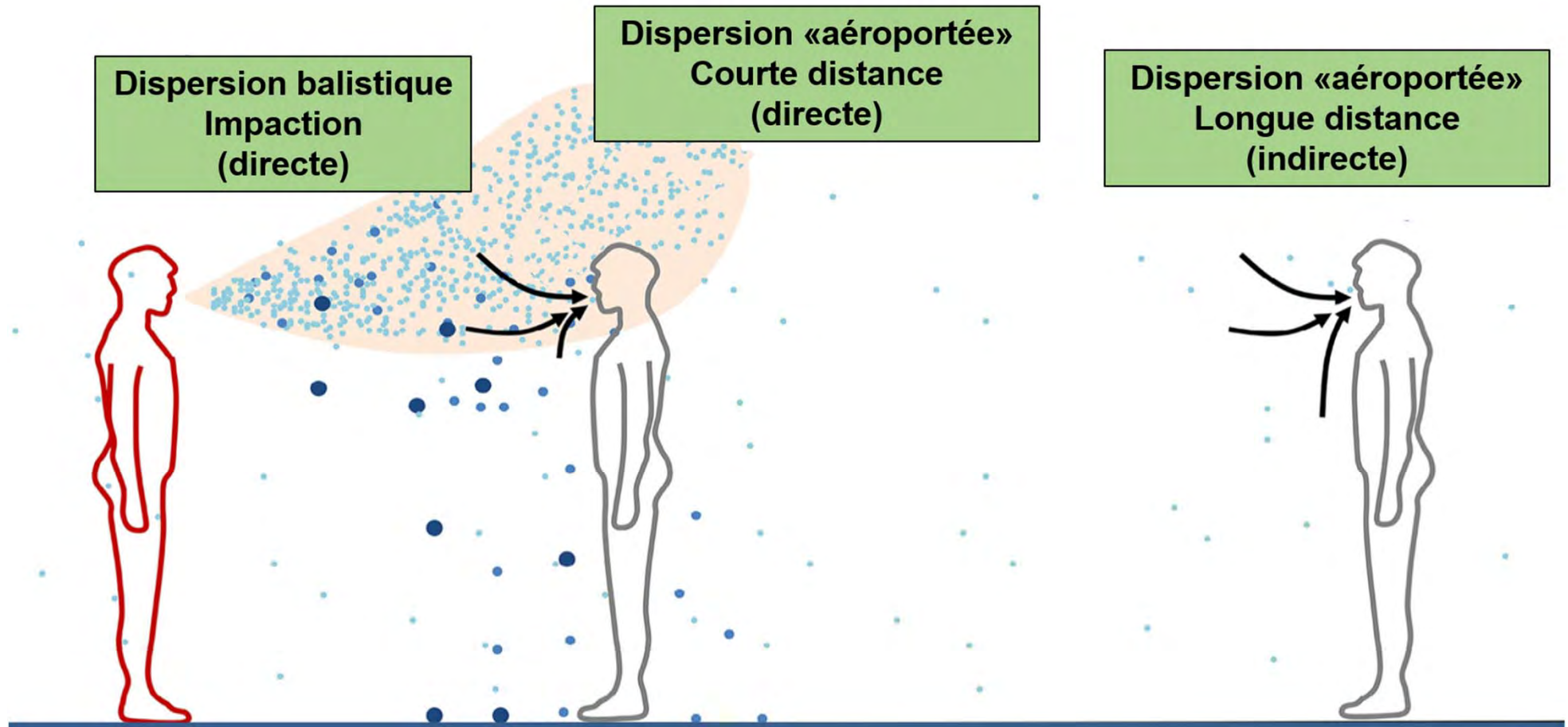
X. Xie<sup>1</sup>, Y. Li<sup>1</sup>, A. T. Y. Chwang<sup>1</sup>,  
P. L. Ho<sup>2</sup>, W. H. Seto<sup>3</sup>

*Etude in vitro , analyse de la toux (10 m/s)  
Mesure par modèles mathématiques*



**Effet de l'évaporation et de l'humidité relative**

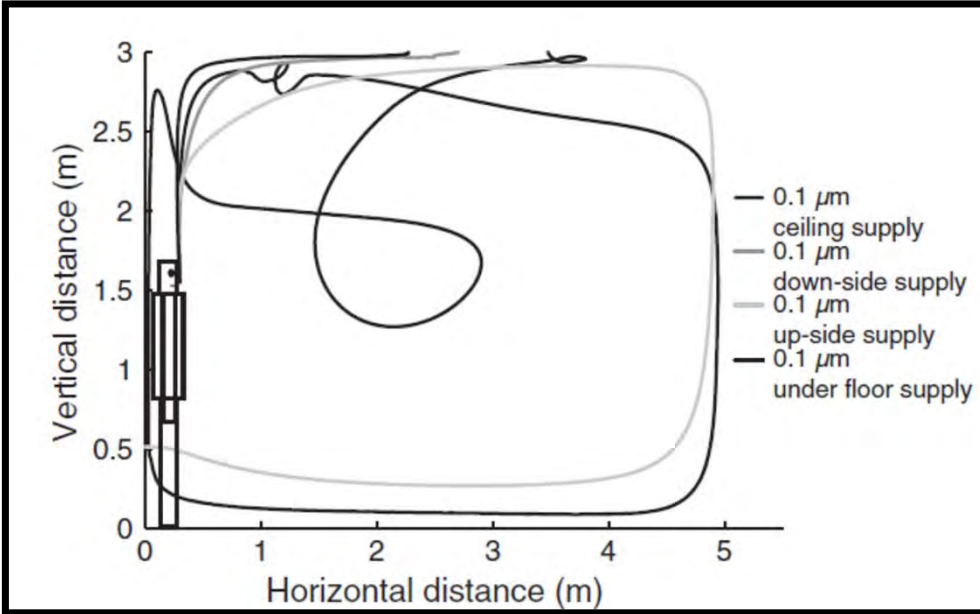
# Modes de dispersion des particules



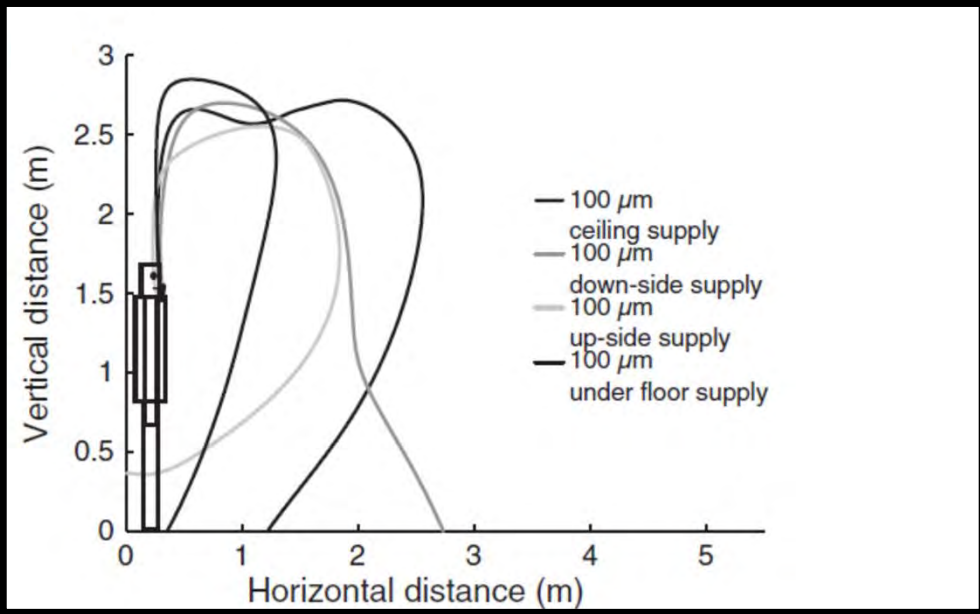
Some questions on dispersion of human exhaled droplets in ventilation room: answers from numerical investigation

C. Chen, B. Zhao

Etude in vitro, Toux (10 m/sec)  
Mesure par simulation / modèles mathématiques



0.1 μm

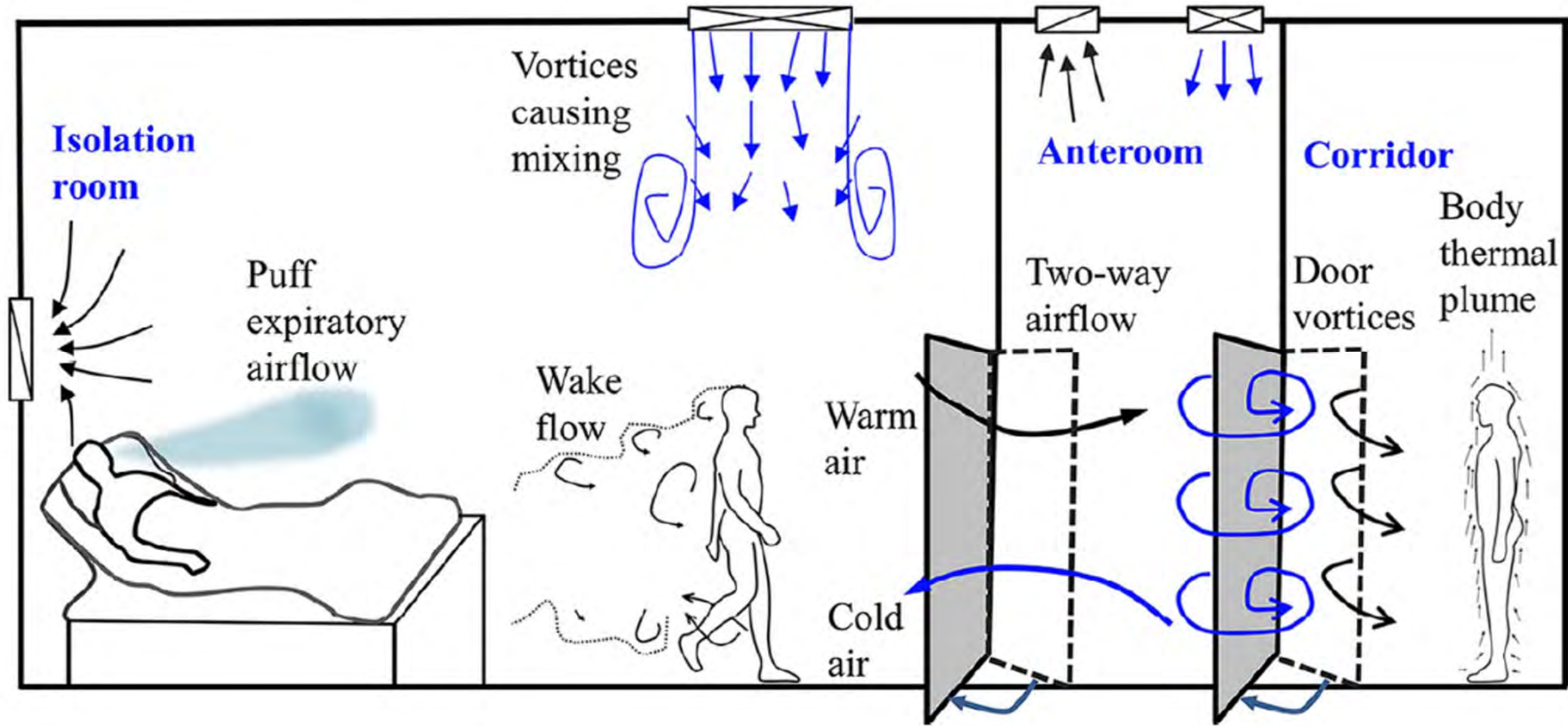


100 μm

Effet de l'environnement (température, humidité, flux mécanique...)



Jianjian Wei PhD, Yuguo Li PhD \*



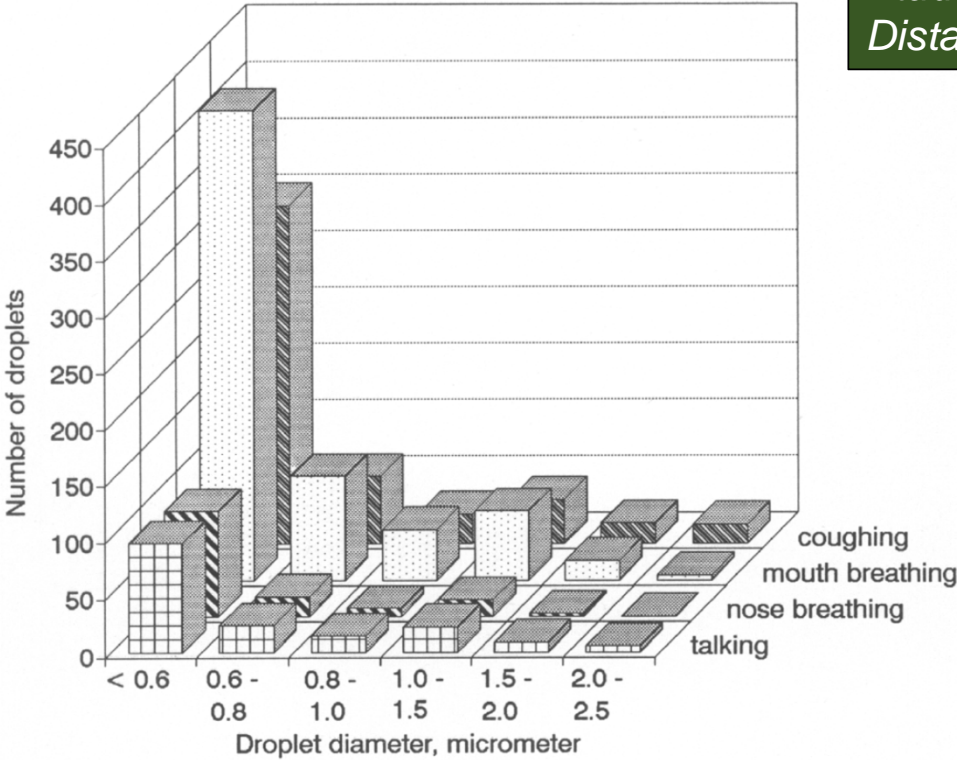
**Effet de l'environnement (température, humidité, flux mécanique...)**

# **Dispersion et kinésithérapie**

# The Size Distribution of Droplets in the Exhaled Breath of Healthy Human Subjects

RAO S. PAPANENI and FRANK S. ROSENTHAL

*Etude in vivo, analyse de la taille des gouttelettes*  
*Distance mesure = 5 mm*



**Aérosolisation = activité respiratoire**

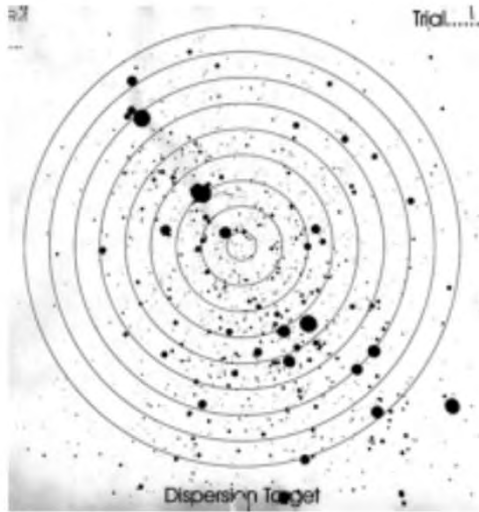
Research article

**BMC Pulm Med. 2005 Sep 2;5:11**

**A new paradigm in respiratory hygiene: increasing the cohesivity of airway secretions to improve cough interaction and reduce aerosol dispersion**

Gustavo Zayas\*<sup>1</sup>, John Dimitry<sup>2</sup>, Ana Zayas<sup>2</sup>, Darryl O'Brien<sup>1</sup> and Malcolm King<sup>1</sup>

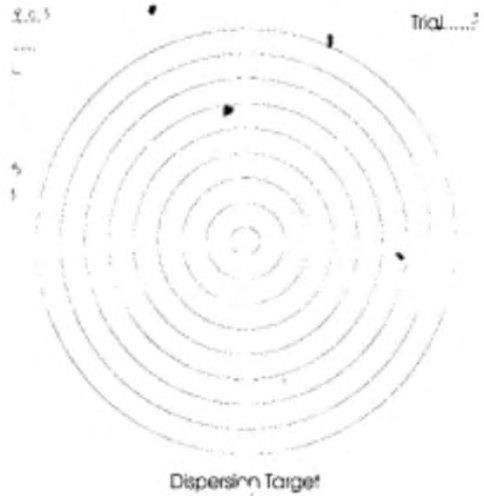
*Etude in vitro, analyse de la toux  
Effet de la filasse, distance cible = 40 cm*



**1.5 µl**



**15 µl**



**150µl**

**Aérosolisation = rhéologie**



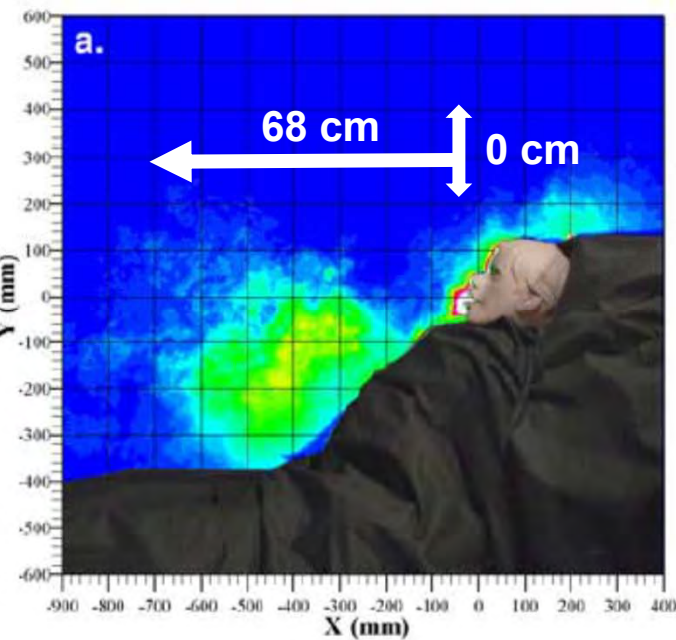
# Exhaled Air Dispersion during Coughing with and without Wearing a Surgical or N95 Mask

David S. Hui<sup>1,2\*</sup>, Benny K. Chow<sup>2,3</sup>, Leo Chu<sup>4</sup>, Susanna S. Ng<sup>1</sup>, Nelson Lee<sup>1,2</sup>, Tony Gin<sup>4</sup>,  
Matthew T. V. Chan<sup>4</sup>

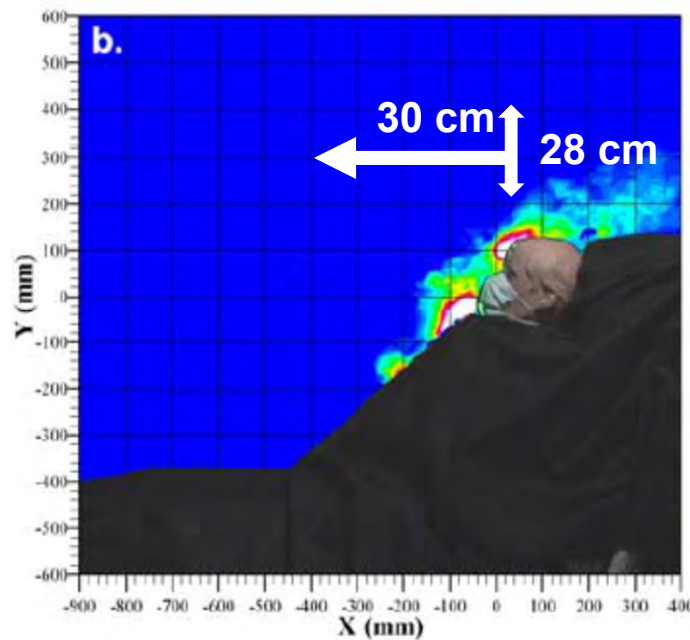
*PLoS One. 2012;7(12:e50845)*

*Etude in vitro sur mannequin  
Analyse de la toux (fumée)  
Vidéo (balayage laser)*

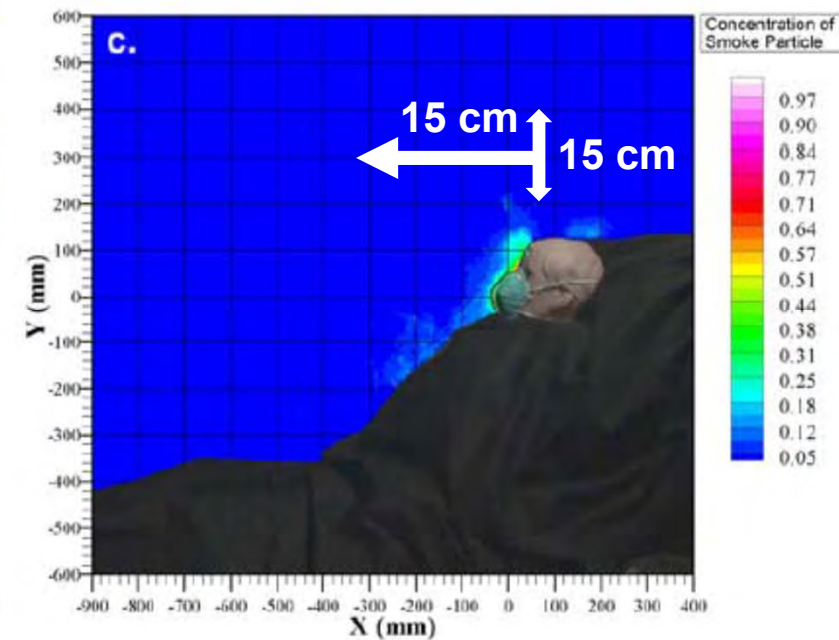
sans masque



avec masque simple



avec masque N95



**Dispersion = filtre à particules**

# Aerosol dispersion during various respiratory therapies: a risk assessment model of nosocomial infection to health care workers

DSC Hui \*, MTV Chan, B Chow

Hong Kong Med J 2014;20(Suppl 4):S9-13

Respironics Image 3 mask plus whisper swivel exhalation valve (inspiratory/expiratory positive airway pressure, cmH <sub>2</sub> O)*	Distance de dispersion (m)
10/4	0.95
14/4	0.95
18/4	>0.95
Simple oxygen mask (oxygen flow, L/min)*	
4	0.20
6	0.22
8	0.30
10	0.40, >0.4 during coughing
Jet nebuliser (driven by air at 6 L/min)	
Normal lung	0.45
Mild lung injury	0.54
Severe lung injury	>0.80

*Etude in vitro sur mannequin  
Analyse de la toux (fumée)  
Vidéo haute définition (balayage laser)*

**Effet du débit expiratoire patient**

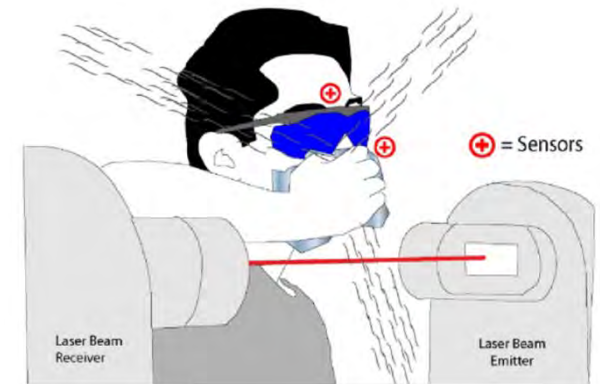
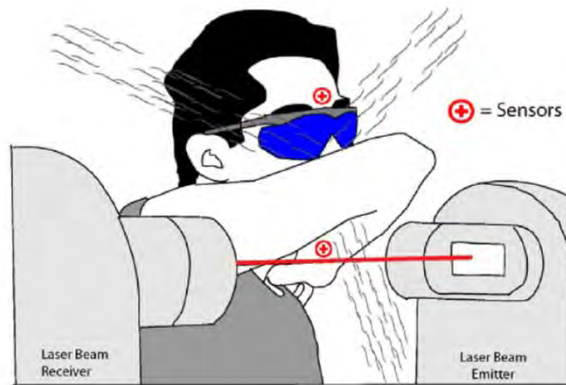
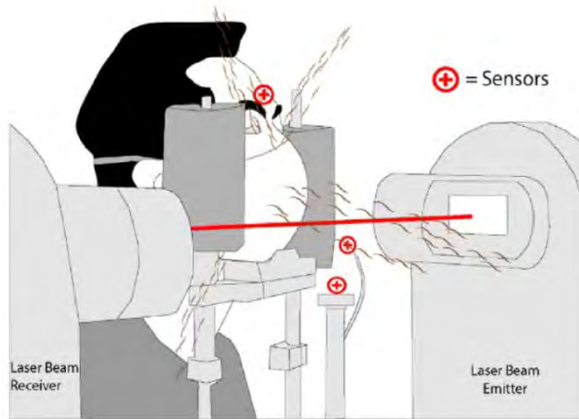
**Dispersion = techniques de thérapie respiratoire**

# Effectiveness of cough etiquette maneuvers in disrupting the chain of transmission of infectious respiratory diseases

Gustavo Zayas<sup>1\*</sup>, Ming C Chiang<sup>1</sup>, Eric Wong<sup>2</sup>, Fred MacDonald<sup>3</sup>, Carlos F Lange<sup>4</sup>, Ambikaipakan Senthilselvan<sup>5</sup> and Malcolm King<sup>1\*</sup>

BMC Public Health 2013, 13:811

*Etude in vivo (volontaires sains non fumeurs, n= 31)  
Mesure par diffraction laser à 17 cm (3 répétitions)*

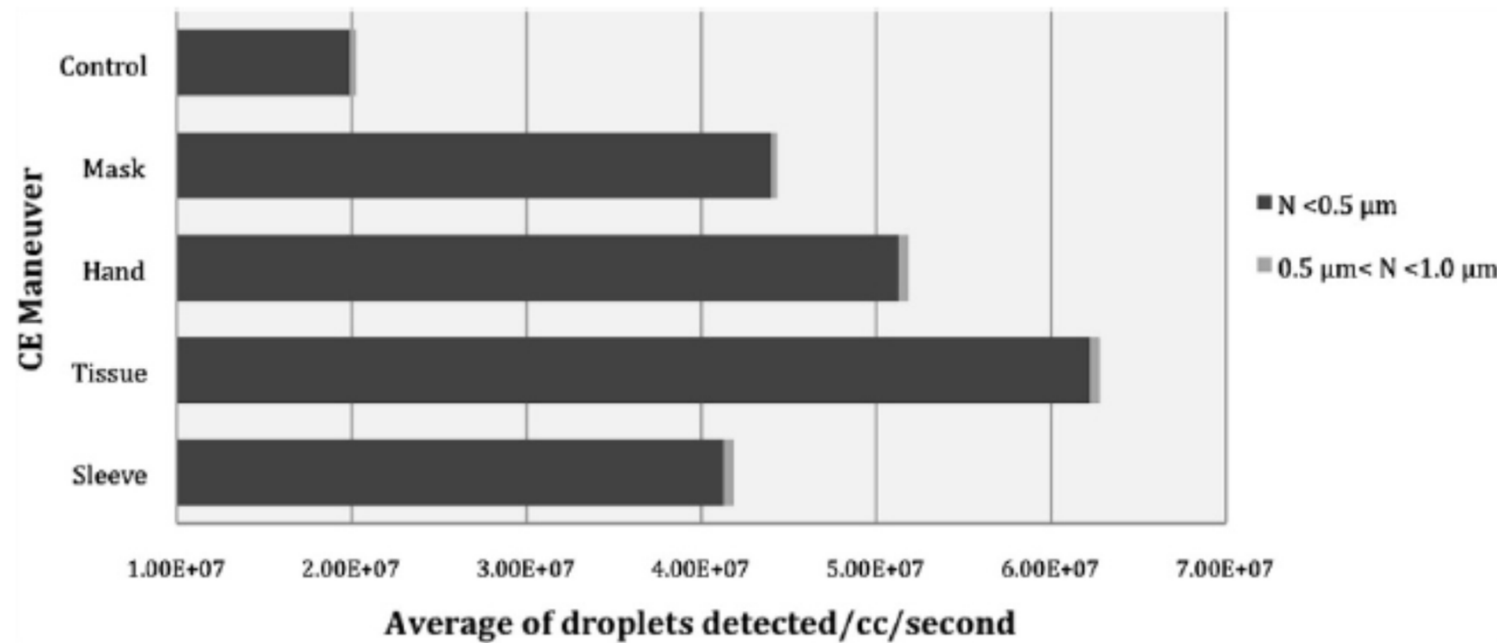


# Effectiveness of cough etiquette maneuvers in disrupting the chain of transmission of infectious respiratory diseases

BMC Public Health 2013, 13:811

Gustavo Zayas<sup>1\*</sup>, Ming C Chiang<sup>1</sup>, Eric Wong<sup>2</sup>, Fred MacDonald<sup>3</sup>, Carlos F Lange<sup>4</sup>, Ambikaipakan Senthilselvan<sup>5</sup> and Malcolm King<sup>1\*</sup>

*Etude in vivo (volontaires sains non fumeurs, n= 31)  
Mesure par diffraction laser à 17 cm (3 répétitions)*



**Dispersion = techniques de «limitation» de la dispersion**



# Conclusions

- Respecter une distance de sécurité (> 1.5 à 2 mètres)
- Protection du thérapeute
- Humidification = Augmentation de la taille des gouttelettes
- Mythes et croyances !!!
- Eviter les courants d'air !!!!
- Limiter l'aérosolisation (*ex : rhéologie, nébulisation de NaCl...*)